

京都大学 工学部 正員 山田善一
京都大学 工学部 正員 ○渡辺英一

1. まえがき

前回の発表では四辺に沿って補剛材を有する長方形のFEM要素を用いた大変形解析について述べた。³⁾ 今回は、この補剛材が完全弾塑性材料から成ると仮定して補剛材の後座屈挙動を行は、実験結果と比較した。

2. 補剛材の弾塑性挙動²⁾

図-1 は対称配置の補剛材、図-2 は片側配置の補剛材を示してある。いま、図-3 のように補剛材の弾塑性挙動を考える。そのとき、対称配置の場合

$$P = \sigma_a b h, \quad M = \frac{bh^2}{3} (\sigma_y - \sigma_a) \left(\frac{3}{2} - k \right), \quad k = \frac{1}{h} \left(\frac{\sigma_y}{E} - \epsilon_m \right) + \frac{1}{2}, \quad \kappa = \frac{2(\sigma_y - \sigma_a)}{k^2 E h}$$

$$\epsilon_m = \frac{\sigma_y}{E} - \left(k - \frac{1}{2} \right) h \kappa \quad \text{となり}, \quad \frac{\partial \sigma_a}{\partial \epsilon_m} = q(k) E = k E, \quad \frac{\partial M}{\partial \kappa} = \bar{q}(k) E I_s = \frac{E b h^3}{12} k (4k^2 - 6k + 3)$$

という関係が得られる。ここに、 $q(k) = k$; $\bar{q}(k) = k(4k^2 - 6k + 3)$

一方、片側配置の場合、上式の M, ϵ_m のかわりにつきのようないす M_B, ϵ_1 を用ひる。

$$M_B = M + \frac{bh^2}{2} \sigma_a, \quad \epsilon_1 = \frac{\sigma_y}{E} - k h \kappa \quad \text{この場合は} \quad \frac{\partial M_B}{\partial \kappa} = \bar{q}(k) E I_s = \frac{E b h^3}{3} k^3; \quad \frac{\partial \sigma_a}{\partial \epsilon_1} = q(k) E = k E$$

$$\text{ここに}, \quad q(k) = k; \quad \bar{q}(k) = k^3 \quad \text{ただし、片側配置の場合つきの関係がある。} \quad \frac{\partial \sigma_a}{\partial \kappa} = \frac{k^2}{2} Eh; \quad \frac{\partial M_B}{\partial \epsilon_1} = - \frac{k E b h^2}{2}$$

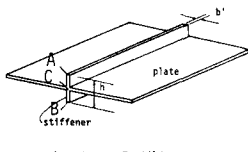


図-1 対称配置の補剛材

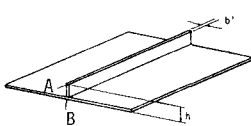


図-2 片面配置の補剛材

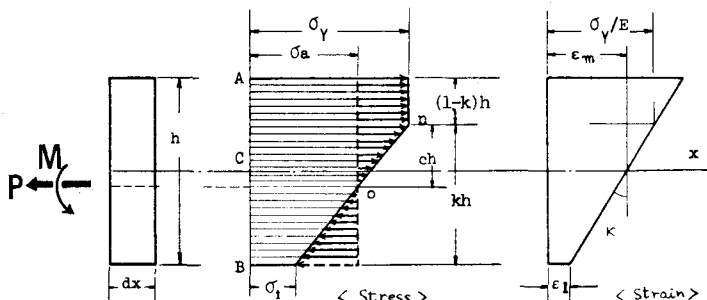


図-3 補剛材の弾塑性変形と応力分布

このように、長さ $q(k)$, $\bar{q}(k)$ などを用いると補剛材の接線剛性が準弾塑的に評価できることになる。すなわち、いま、弾性状態での要素の剛性マトリックス成分を、板部が K_{ij}^{***} , 補剛材部が S_{ij}^{***} とし、節点荷重増分を ΔP_i , 節点変位増分を $\Delta \delta_j$ とすれば、補剛材が弾塑性の場合には \bar{R}_i^S を積分定数として

$$\Delta P_i = (K_{ij}^{***} + q' S_{ij}^{***}) \delta_j + \bar{R}_i^S$$

ここに、 q' は $q(k)$ や $\bar{q}(k)$ などを一般的に表示している。

3. 実験結果との比較および考察

純圧縮を受ける長方形補剛板ひりづの数が 0, 1, 2 の場合について京都大学構造実験室で実験を行ひ、この結果と FEM による解析結果とを比較した。図-4 は無補剛板の荷重-たわみ関係を示してある。実験では $P_u^{\text{ex}} = 6.1 \text{ ton}$ で飛移が起つた。FEM 解析では $P_u = 5.6 \text{ ton}$ で載荷辺に沿つてほぼ全長にわたり降伏が見られた。図-5 は補剛材一本の場合の荷重-たわみ曲線であるが FEM 解析では $P_u = 9.6 \text{ ton}$ で飛移が見られ補剛板全体がリズの座屈のような形で大変形した。なお、実験では $P_u^{\text{ex}} = 9.7 \text{ ton}$ で補剛材の曲げ変形が大きく加速された。また、黒丸は図に示された点のたわみ角であり、 $P_{cr} = 6.9 \text{ ton}$ からはハーカー補剛板の後座屈が始まっていることを示している。図-6 はリズが二本の場合の荷重-たわみ関係を示してある。この場合は飛移ではなく、補剛材の降伏に始めて、板自体の降伏にいたる破壊が生じたことが実験結果より判るし、FEM による解析結果でも、 $P_y = 16.6 \text{ ton}$ で補剛材が降伏を始め、 $P_u = 22.0 \text{ ton}$ で板の中央近傍の 4 点がほぼ同時に降伏を開始した。

Table 1 は計算結果の一覧表である。ここには、 P_{cr} ⁽¹⁾ = 補剛板の座屈荷重(活荷重内は解析解)、 P_y = 補剛材の降伏開始荷重、 P_u = 板自体の降伏荷重が表示してある。ただし、無補剛板の P_y は載荷辺の一点において板の一面が降伏したときの荷重である。この計算において感じたことは、補剛板の座屈値は 1 次から 4 次ぐらいまでは非常に接近していく、モードの間の相関性が複雑であろうと考えられる。したがって初期たわみのモードもかなり重要な因子と思われる。なお、応力分布な

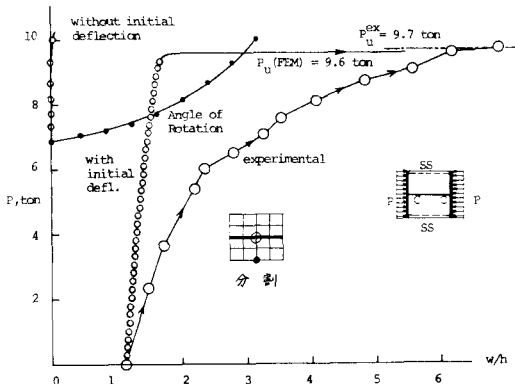


Fig. 5 Load-Deflection Curves. Case 3.
(stiffened plate with one stiffener).

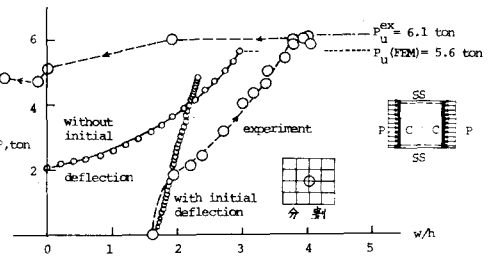


Fig. 4 Load-Deflection Curve. Case 0.
(Unstiffened Plate).

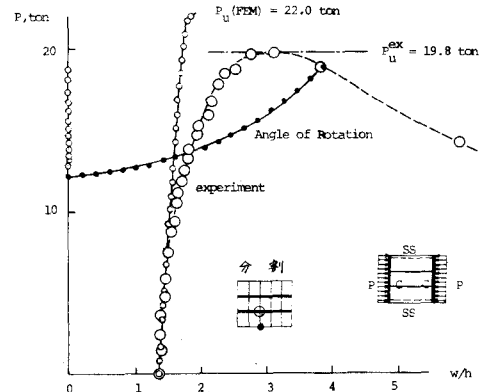


Fig. 6 Load-Deflection Curves. Case 6.
(stiffened plate with 2 stiffeners).

Table 1. BUCKLING, YIELDING, AND ULTIMATE LOADS IN TONS.

MESH						
	CASE 0	CASE 1	CASE 2	CASE 3	CASE 4	CASE 5
SUPPORT CONDITION						
SS SS SS SS	P_{cr}	1.49(1.59)	3.37(3.50)	4.67(4.75)	6.12(6.51)	5.89(5.92)
P C C C	P_y					
SS SS SS SS	P_u					
P C C C	P_{cr}	2.09(2.25)	6.71	6.79	6.90	11.17
P C C C	P_y	4.09	7.27	8.81	9.62	11.98
P C C C	P_u	5.62	7.27	9.47	9.62	12.32
C C C C	P_{cr}	3.33(3.84)	8.77	8.88	9.02	18.33
C C C C	P_y		10.02	10.86	10.07	14.16
C C C C	P_u	6.24	11.45	10.07		16.00
EXPERIMENTAL ULTIMATE LOAD	6.1	7.7	8.3	9.7	12.3	16.9
						19.8

との詳細は当日発表する。

4. 参考文献

- 1) Kloppl und Shear: Beulwerte ausgesteifter Rechteckplatten, W. Ernst und Sohn, 1960.
- 2) 山田, 清辺, 中村, 宮田: FEMによる補剛板の後座屈強度の解析, マトリクス構造解析シンポジウム 日本国構造協会, 1973.
- 3) 山田, 清辺, 河野: FEMによる薄板の耐荷力解析, 第29回平次力学講演会論文集 第1部 pp.129~130, 1974.